

01

# Построение некоторых ядер нелинейного интеграла столкновений уравнения Больцмана с помощью преобразования Лапласа

© А.Я. Эндер,<sup>1</sup> И.А. Эндер,<sup>2</sup> Л.А. Бакалейников,<sup>1</sup> Е.Ю. Флегонтова<sup>1</sup>

<sup>1</sup> Физико-технический институт им. А.Ф. Иоффе РАН,  
194021 Санкт-Петербург, Россия

<sup>2</sup> Санкт-Петербургский государственный университет,  
198504 Санкт-Петербург, Россия  
e-mail: andrei.ender@mail.ioffe.ru

(Поступило в Редакцию 7 сентября 2011 г.)

Показано, что связь между ядрами  $L_l(v, v_1)$  линейного интеграла столкновений и ядрами  $G_{l,0}^l(v, v_1, v_2)$  нелинейного интеграла столкновений сводится к преобразованию Лапласа. В случае твердых шаров и псевдомаксвелловских молекул найдены аналитические выражения для нелинейных ядер  $G_{0,0}^{+0}(v, v_1, v_2)$ ,  $G_{1,0}^{+1}(v, v_1, v_2)$ .

## Введение

При решении уравнения Больцмана часто используется разложение функции распределения (ФР) по некоторым базисным функциям. При разложении ФР по сферическим гармоникам уравнение Больцмана сводится к системе интегро-дифференциальных уравнений с набором интегральных операторов, полученных при разложении интеграла столкновений [1,2]. Вычисление ядер этих операторов даже в линейном варианте, вообще говоря, представляет существенную трудность. В линейном или линеаризованном случаях ядра интеграла столкновений для газа из твердых шаров были найдены в аналитическом виде Гильбертом и Гекке [3,4]. Линейные ядра в случае газа из псевдомаксвелловских молекул, когда сечение рассеяния обратно пропорционально относительной скорости сталкивающихся частиц и не зависит от угла, были построены аналитически в работе [5].

Следует отметить, что переход к ядрам в интеграле столкновений приводит к сильным упрощениям при решении кинетического уравнения. В частности, использование ядер дало возможность получить ряд интересных результатов для граничных задач в динамике разреженного газа [6,7]. Подчеркнем, что пока все эти результаты получены только для линейного уравнения Больцмана. В работе [8] для произвольных сечений взаимодействия частиц получены рекуррентные связи для нелинейных ядер  $G_{l_1, l_2}^l(v, v_1, v_2)$ . Для этих рекуррентов стартовыми являются ядра изотропной задачи  $G_{0,0}^0(v, v_1, v_2)$ . Ясно, насколько важным становится теперь построение ядер  $G_{0,0}^0(v, v_1, v_2)$ .

В настоящей работе показано, что связь, существующая между линейными и нелинейными ядрами, сводится к преобразованию Лапласа (разд. 1), что позволяет в ряде случаев найти аналитические выражения для нелинейных ядер.

Чтобы применить преобразование Лапласа, необходимо знать зависимость линейного ядра  $L_l(v, v_1)$  от температуры. При использовании результатов работ [3–5]

и аппарата преобразования Лапласа удалось построить нелинейные ядра  $G_{0,0}^0(v, v_1, v_2)$  и  $G_{1,0}^1(v, v_1, v_2)$  для газа из псевдомаксвелловских молекул (разд. 2 и 5) и твердых шаров (разд. 3 и 4) в виде элементарных функций.

## 1. Связь между линейными и нелинейными ядрами интеграла столкновений

Рассмотрим нелинейный интеграл столкновений в уравнении Больцмана, описывающий скорость изменения ФР частиц сорта  $a$  при их взаимодействии с частицами сорта  $b$ . При изучении ядер, не ограничивая общности, можно производить разложение ФР не по сферическим гармоникам, а по полиномам Лежандра [1]. Поэтому достаточно рассмотреть осесимметричный случай, когда интеграл столкновений выражается через ядра  $G_{l_1, l_2}^l(v, v_1, v_2)$  следующим образом:

$$\left( \frac{\partial f_a(\mathbf{v})}{\partial t} \right) \Big|_{col}^{(a,b)} = \iint G(\mathbf{v}, \mathbf{v}_1, \mathbf{v}_2) f_a(\mathbf{v}_1) f_b(\mathbf{v}_2) d\mathbf{v}_1 d\mathbf{v}_2$$

$$= \sum_{l_1, l_2} P_l(x) \left( \int_0^\infty \int_0^\infty G_{l_1, l_2}^l(v, v_1, v_2) f_{l_1}^a(v_1) f_{l_2}^b(v_2) v_1^2 v_2^2 dv_1 dv_2 \right), \quad (1)$$

где  $f_l^a(v)$  и  $f_l^b(v)$  — коэффициенты разложения функций распределения  $f^a(\mathbf{v})$  и  $f^b(\mathbf{v})$  по полиномам Лежандра, а ядра  $G_{l_1, l_2}^l(v, v_1, v_2)$  зависят только от величин скоростей и представляют собой коэффициенты разложения по полиномам Лежандра ядра  $G(\mathbf{v}, \mathbf{v}_1, \mathbf{v}_2)$  [2].

В кинетической теории в основном рассматриваются неориентированные частицы. В этом случае дифференциальное сечение рассеяния зависит только от модуля относительной скорости сталкивающихся частиц  $g$  и угла рассеяния  $\theta$ , а нелинейные ядра  $G_{l_1, l_2}^l(v, v_1, v_2)$  могут быть отличны от нуля, только если  $|l_1 - l_2| \leq l \leq l_1 + l_2$  и  $l + l_1 + l_2$  — четное число [1]. Столкновительный

оператор для простого газа можно получить, если считать частицы  $a$  и  $b$  одинаковыми. В случае простого газа из-за симметрии произведения  $f_{l_1}(v_1)f_{l_2}(v_2)$  относительно одновременной перестановки  $v_1, v_2$  и  $l_1, l_2$  ядро  $G_{l_1, l_2}^l(v, v_1, v_2)$  можно заменить на  $G_{l_1, l_2}^{*l}(v, v_1, v_2) = (1/2)(G_{l_1, l_2}^l(v, v_1, v_2) + G_{l_2, l_1}^l(v, v_2, v_1))$ . В настоящей работе, как и в предыдущих работах, авторы рассматривают несимметризованные ядра, которые могут быть использованы как для простого газа, так и для смеси частиц с равными массами.

Часто в интеграле столкновений (1) можно выделить части, соответствующие обратным (gain term) и прямым (loss term) столкновениям. В дальнейшем нас будут интересовать ядра интеграла обратных столкновений  $G^+$ .

При малых отклонениях от равновесия или при рассеянии примеси на равновесном фоновом газе уравнение Больцмана становится линейным. При этом ядра линейного и нелинейного интегралов столкновений связаны соотношением (более подробно см. [2])

$$L_l^+(v, v_1; \alpha) = \int_0^\infty G_{l,0}^{+l}(v, v_1, v_2) M(v_2, \alpha) v_2^2 dv_2. \quad (2)$$

Здесь  $M(v, \alpha) = (\alpha/\pi)^{3/2} \exp(-\alpha v^2)$  — максвеллиан, а параметр  $\alpha = m/2kT = 1/v_T^2$ , где  $T$  — фоновая температура,  $v_T$  — тепловая скорость.

Помимо ядер (2), которые мы называем линейными ядрами первого рода, существуют линейные ядра второго рода:

$$L_l^{+,2}(v, v_2; \alpha) = \int_0^\infty G_{0,l}^{+l}(v, v_1, v_2) M(v_1, \alpha) v_1^2 dv_1.$$

В настоящей работе рассматриваются только изотропные сечения рассеяния. В этом случае ядра  $G^+$  симметричны относительно одновременной перестановки  $v_1, v_2$  и  $l_1, l_2$ , т.е.  $G_{l_1, l_2}^{+l}(v, v_1, v_2) = G_{0, l_1}^{+l}(v, v_2, v_1)$  и линейные ядра первого и второго рода равны.

Возвращаясь к формуле (2), отметим, что в нее входят только нелинейные ядра с индексами  $l = l_1, l_2 = 0$ . В [3–5] линейные ядра были построены при фиксированной температуре в безразмерных переменных  $c = v/v_T$ . Для дальнейшего нам понадобится перейти к размерным скоростям. Используем в (2) переменные

$$w = v^2, \quad w_1 = v_1^2, \quad t = v_2^2. \quad (3)$$

Тогда получим

$$2 \left( \frac{\pi}{\alpha} \right)^{3/2} L_l^+(\sqrt{w}, \sqrt{w_1}; \alpha) = \int_0^\infty G_{l,0}^{+l}(\sqrt{w}, \sqrt{w_1}, \sqrt{t}) \exp(-\alpha t) t^{1/2} dt. \quad (4)$$

Интеграл, стоящий в правой части уравнения (4), можно рассматривать как преобразование Лапласа  $\hat{\mathcal{L}}_{\alpha, t}$  от

переменной  $t$  к переменной  $\alpha$ :

$$2 \left( \frac{\pi}{\alpha} \right)^{3/2} L_l^+(\sqrt{w}, \sqrt{w_1}; \alpha) = \hat{\mathcal{L}}_{\alpha, t} [G_{l,0}^{+l}(\sqrt{w}, \sqrt{w_1}, \sqrt{t}) t^{1/2}].$$

Если функция  $L_l^+(\sqrt{w}, \sqrt{w_1}; \alpha)$  известна, то нелинейное ядро  $G_{l,0}^{+l}(\sqrt{w}, \sqrt{w_1}, \sqrt{t})$  может быть получено с помощью обратного преобразования Лапласа:

$$G_{l,0}^{+l}(\sqrt{w}, \sqrt{w_1}, \sqrt{t}) = \frac{2\pi^{3/2}}{t^{1/2}} \hat{\mathcal{L}}_{\alpha, t}^{-1} [\alpha^{-3/2} L_l^+(\sqrt{w}, \sqrt{w_1}; \alpha)]. \quad (5)$$

Линейные ядра следующим образом выражаются через матричные элементы интеграла столкновений и полиномы Сонина [2]:

$$L_l^+(\sqrt{w}, \sqrt{w_1}; \alpha) = M(c) \sum_{r, r_1} c^l S_{l+1/2}^r(c^2) \Lambda_{r, r_1, l}^+(\alpha) \frac{c_1^{l+1/2} S_{l+1/2}^{r_1}(c_1^2)}{\sigma_{r_1 l}}, \quad (6)$$

где  $c = \sqrt{\alpha w}$ ,  $c_1 = \sqrt{\alpha w_1}$ , а размерные линейные матричные элементы  $\Lambda_{r, r_1, l}^+(\alpha)$  представляют собой коэффициенты разложения линейного интеграла столкновений по произведениям полиномов Сонина и полиномов Лежандра (функциям Барнетта).

Свойства матричных элементов подробно изучались в [1]. В случае степенных потенциалов ( $V \propto 1/r^\kappa$ ) матричные элементы  $\Lambda_{r, r_1, l}^+(\alpha) \propto \alpha^{-\mu}$ , где  $\mu = (\kappa - 4)/2\kappa$ . Следовательно, для степенных потенциалов можно записать

$$L_l^+(\sqrt{w}, \sqrt{w_1}; \alpha) = \mathfrak{G}_\mu \alpha^{3/2-\mu} \tilde{L}_l^+(\sqrt{\alpha w}, \sqrt{\alpha w_1}). \quad (7)$$

Подставляя (7) в (5), для степенных потенциалов получаем

$$G_{l,0}^{+l}(\sqrt{w}, \sqrt{w_1}, \sqrt{t}) = \mathfrak{G}_\mu \frac{2\pi^{3/2}}{t^{1/2}} \hat{\mathcal{L}}_{\alpha, t}^{-1} \left[ \frac{1}{\alpha^\mu} \tilde{L}_l^+(\sqrt{\alpha w}, \sqrt{\alpha w_1}) \right]. \quad (8)$$

Здесь размерная константа  $\mathfrak{G}_\mu$  не зависит от  $\alpha$ , а безразмерное линейное ядро  $\tilde{L}_l^+(\sqrt{\alpha w}, \sqrt{\alpha w_1})$  зависит от  $\alpha$  только в комбинациях  $\sqrt{\alpha w}$  и  $\sqrt{\alpha w_1}$ .

Интегральное преобразование  $\hat{\mathcal{L}}_{\alpha, t}^{-1}$  не всегда может быть выполнено аналитически. Ниже рассмотрим несколько случаев, когда ядра удается выразить через элементарные функции. При этом будут использованы формулы для ядер  $\tilde{L}_l^+$  в случае твердых шаров ( $\mu = 0.5$ ) [4] и псевдомаксвелловских молекул ( $\mu = 0$ ) [5]. В наших предыдущих работах эти ядра обозначались  $L_l^+$ .

## 2. Нелинейное ядро $G_{0,0}^{+0}(v, v_1, v_2)$ для газа из псевдомаксвелловских молекул

Для псевдомаксвелловских молекул линейное ядро  $\tilde{L}_0^+$  имеет вид [5]

$$\begin{aligned} \tilde{L}_0^+(\sqrt{\alpha w}, \sqrt{\alpha w_1}) &= \frac{2\sqrt{\pi}}{\alpha\sqrt{ww_1}} \exp(\alpha w_1) \\ &\times \left( \operatorname{erfc}(\sqrt{\alpha w}) \operatorname{erf}(\sqrt{\alpha w_1}) \Theta(w - w_1) \right. \\ &\left. + \operatorname{erf}(\sqrt{\alpha w}) \operatorname{erfc}(\sqrt{\alpha w_1}) \Theta(w_1 - w) \right), \end{aligned} \quad (9)$$

где  $\Theta(x) = 0$  при  $x < 0$  и  $\Theta(x) = 1$  при  $x > 0$ . Введем обозначение  $q(x) = e^x \operatorname{erfc}(\sqrt{x})$  и учтем, что  $e^x \operatorname{erf}(\sqrt{x}) = (e^x - q(x))$ . Тогда линейное ядро (9) можно представить в виде следующего произведения:

$$\tilde{L}_0^+(\sqrt{\alpha w}, \sqrt{\alpha w_1}) = \frac{2\pi^{1/2}}{\sqrt{ww_1}} \frac{f_{mm}(\alpha, w, w_1)}{\alpha}, \quad (10)$$

где функция  $f_{mm}$  имеет вид

$$\begin{aligned} f_{mm}(\alpha, w, w_1) &= \begin{cases} e^{-(w-w_1)\alpha} q(w\alpha) - e^{-w\alpha} q(w_1\alpha) q(w\alpha), & w_1 < w, \\ q(w_1\alpha) - e^{-w\alpha} q(w_1\alpha) q(w\alpha), & w < w_1. \end{cases} \\ & \quad (11) \end{aligned}$$

Обратное преобразование Лапласа от  $q(w\alpha)$  известно (см [9] 5.12(12), стр. 237)

$$Q(w, t) = \hat{\mathcal{L}}_{\alpha, t}^{-1}[q(w\alpha)] = \frac{\sqrt{w}}{\pi\sqrt{t}(t+w)}. \quad (12)$$

При обратном преобразовании Лапласа оригинал произведения функций вычисляется как свертка оригиналов множителей. Таким образом,

$$\hat{\mathcal{L}}_{\alpha, t}^{-1}[q(w\alpha)q(w_1\alpha)] = \int_0^t Q(w_1, \tau) Q(w, (t-\tau)) d\tau. \quad (13)$$

Подынтегральную функцию можно привести к виду

$$\begin{aligned} Q(w_1, \tau) Q(w, (t-\tau)) &= \frac{\sqrt{ww_1}}{\pi^2} \frac{1}{t+w+w_1} \\ &\times \frac{1}{\sqrt{t\tau - \tau^2}} \left( \frac{1}{\tau+w_1} - \frac{1}{\tau-t-w} \right). \end{aligned} \quad (14)$$

После замены переменной  $z = 1/(\tau + d)$ , где  $d = w_1$  и  $d = -t - w$  соответственно для первой и второй дроби в круглых скобках, каждое из слагаемых в (14) принимает

вид (2.261) из [10]:

$$\begin{aligned} &\int_{1/(d+t)}^{1/d} \frac{dz}{\sqrt{A+Bz+Cz^2}} \\ &= -\frac{1}{\sqrt{-C}} \left( \arcsin \frac{2C/d+B}{\sqrt{B^2-4AC}} - \arcsin \frac{2C/(d+t)+B}{\sqrt{B^2-4AC}} \right), \end{aligned} \quad (15)$$

где  $A = -1$ ,  $B = t + 2d$ ,  $C = -td - d^2$ . Используя (14) и (15), из (13) получим

$$\begin{aligned} \hat{\mathcal{L}}_{\alpha, t}^{-1}[q(w\alpha)q(w_1\alpha)] &= \frac{\sqrt{ww_1}}{\pi^2} \frac{1}{t+w+w_1} \\ &\times \left( \frac{\pi}{\sqrt{w(t+w)}} + \frac{\pi}{\sqrt{w_1(t+w_1)}} \right). \end{aligned} \quad (16)$$

Таким образом, показано, что для  $t > 0$

$$\hat{\mathcal{L}}_{\alpha, t}^{-1}[q(w\alpha)q(w_1\alpha)] = Q(w_1, t+w) + Q(w, t+w_1). \quad (17)$$

Умножение изображения на экспоненту равносильно сдвигу в оригинале

$$\hat{\mathcal{L}}_{\alpha, t}^{-1}[q(w\alpha)e^{-b\alpha}] = Q(w, t-b)\Theta(t-b). \quad (18)$$

Используя (17), (18) и (11), получим

$$\begin{aligned} \phi(w, w_1, t) &= \hat{\mathcal{L}}_{\alpha, t}^{-1}[f_{mm}(\alpha, w, w_1)] \\ &= [Q(w, t+w_1-w)\Theta(t+w_1-w) - (Q(w_1, t) \\ &+ Q(w, t+w_1-w))\Theta(t-w)]\Theta(w-w_1) + [Q(w_1, t) \\ &- (Q(w_1, t) + Q(w, t+w_1-w))\Theta(t-w)]\Theta(w_1-w). \end{aligned} \quad (19)$$

Умножению изображения на  $1/\alpha$  соответствует интегрирование оригинала от 0 до  $t$ :

$$\hat{\mathcal{L}}_{\alpha, t}^{-1} \left[ \frac{f_{mm}(\alpha, w, w_1)}{\alpha} \right] = \int_0^t \phi(w, w_1, \tau) d\tau. \quad (20)$$

Теперь с помощью найденного оригинала легко вычислить нелинейное ядро  $G_{0,0}^{+0}(\sqrt{w}, \sqrt{w_1}, \sqrt{t})$ . Поскольку для максвелловских молекул  $\mu = 0$ , то из (8), (10) и (20) имеем

$$G_{0,0}^{+0}(\sqrt{w}, \sqrt{w_1}, \sqrt{t}) = \mathfrak{G}_0 \frac{4\pi^2}{\sqrt{ww_1t}} \int_0^t \phi(w, w_1, \tau) d\tau. \quad (21)$$

Анализируя выражение для подынтегральной функции (19), легко увидеть что  $\phi(w, w_1, \tau)$  равна нулю, если  $w > w_1 + \tau$  и, следовательно, нелинейное ядро  $G_{0,0}^{+0}(\sqrt{w}, \sqrt{w_1}, \sqrt{t})$  при  $w > w_1 + t$  обращается в нуль. При  $w < w_1 + t$  в области изменения аргументов можно выделить 4 подобласти, в каждой из которых результат

интегрирования выражается через следующий неопределенный интеграл:

$$\int Q(b, x) dx = \frac{\sqrt{b}}{\pi} \int \frac{1}{\sqrt{x}(x+b)} dx = \frac{2}{\pi} \operatorname{arctg} \sqrt{x/b}. \quad (22)$$

Возвращаясь к переменным  $v = \sqrt{w}$ ,  $v_1 = \sqrt{w_1}$ ,  $v_2 = \sqrt{t}$  и воспользовавшись тождеством  $\operatorname{arctg}(x) + \operatorname{arctg}(1/x) = \pi/2$ , легко получить окончательный результат в виде

$$G_{0,0}^{+0}(v, v_1, v_2) = 0, \quad v_1^2 + v_2^2 < v^2, \quad (23)$$

$$G_{0,0}^{+0}(v, v_1, v_2) = \mathfrak{G}_0 \frac{8\pi}{vv_1v_2} \operatorname{arctg} \sqrt{(v_1^2 + v_2^2 - v^2)/v^2}, \quad v_1 < v, \quad v^2 - v_1^2 < v_2^2 < v^2, \quad (24)$$

$$G_{0,0}^{+0}(v, v_1, v_2) = \mathfrak{G}_0 \frac{4\pi^2}{vv_1v_2} \left(1 - \frac{2}{\pi} \operatorname{arctg}(v_2/v_1)\right), \quad v_1 < v, \quad v < v_2, \quad (25)$$

$$G_{0,0}^{+0}(v, v_1, v_2) = \mathfrak{G}_0 \frac{8\pi}{vv_1v_2} \operatorname{arctg}(v_2/v_1), \quad v < v_1, \quad v_2 < v, \quad (26)$$

$$G_{0,0}^{+0}(v, v_1, v_2) = \mathfrak{G}_0 \frac{4\pi^2}{vv_1v_2} \times \left(1 - \frac{2}{\pi} \operatorname{arctg} \sqrt{(v_1^2 + v_2^2 - v^2)/v^2}\right), \quad v < v_1, \quad v < v_2. \quad (27)$$

Из формул (23)–(27) легко показать, что ядро непрерывно на границах областей.

### 3. Нелинейное ядро $G_{0,0}^{+0}(v, v_1, v_2)$ для газа из твердых шаров

Как уже отмечалось выше, разложение линейного приходного ядра по сферическим гармоникам в случае твердых шаров было построено Гекке [4]. После некоторых упрощений для  $l = 0$  имеем [11]

$$\begin{aligned} & \tilde{L}_0^+(\sqrt{\alpha w}, \sqrt{\alpha w_1}) \\ &= \frac{2}{\sqrt{\alpha w} \sqrt{\alpha w_1}} \left( e^{\alpha w_1 - \alpha w} \operatorname{erf}(\sqrt{\alpha w_1}) \Theta(\sqrt{\alpha w} - \sqrt{\alpha w_1}) \right. \\ & \left. + \operatorname{erf}(\sqrt{\alpha w}) \Theta(\sqrt{\alpha w_1} - \sqrt{\alpha w}) \right). \end{aligned} \quad (28)$$

Для твердых шаров ( $\mu = 0.5$ ) при  $l = 0$  формулу (8) можно записать в виде

$$\begin{aligned} & G_{0,0}^{+0}(\sqrt{w}, \sqrt{w_1}, \sqrt{t}) \\ &= \mathfrak{G}_{1/2} \frac{2\pi^{3/2}}{t^{1/2}} \hat{\mathfrak{L}}_{\alpha,t}^{-1} \left[ \frac{\tilde{L}_0^+(\sqrt{\alpha w}, \sqrt{\alpha w_1})}{\sqrt{\alpha}} \right] \\ &= \mathfrak{G}_{1/2} \frac{4\pi^{3/2}}{(ww_1t)^{1/2}} \hat{\mathfrak{L}}_{\alpha,t}^{-1} [f_{hs}(\alpha, w, w_1)]. \end{aligned} \quad (29)$$

Здесь

$$\begin{aligned} & f_{hs}(\alpha; w, w_1) \\ &= \begin{cases} \frac{1}{\alpha^{3/2}} e^{-\alpha(w-w_1)} \operatorname{erf}(\sqrt{\alpha w_1}), & w_1 < w, \\ \frac{1}{\alpha^{3/2}} \operatorname{erf}(\sqrt{\alpha w}), & w < w_1. \end{cases} \end{aligned} \quad (30)$$

Из [9] (5.12(10), стр. 237) имеем при любом  $b > 0$

$$\hat{\mathfrak{L}}_{\alpha,t}^{-1} \left[ \frac{\operatorname{erf}(\sqrt{b\alpha})}{\alpha^{1/2}} \right] = \frac{\Theta(b-t)}{\sqrt{\pi}\sqrt{t}}. \quad (31)$$

Как уже отмечалось выше, умножению изображения на  $1/\alpha$  соответствует интегрирование оригинала в пределах от нуля до  $t$ . В результате получаем

$$\begin{aligned} & \hat{\mathfrak{L}}_{\alpha,t}^{-1} \left[ \frac{\operatorname{erf}(\sqrt{b\alpha})}{\alpha^{3/2}} \right] \\ &= \frac{2}{\sqrt{\pi}} \left( \Theta(b-t)\sqrt{t} + \Theta(t-b)\sqrt{b} \right) \Theta(t). \end{aligned} \quad (32)$$

Используя (32) и учитывая с помощью сдвига экспоненциальный множитель в (30), получаем в области  $w_1 < w$

$$\begin{aligned} & \hat{\mathfrak{L}}_{\alpha,t}^{-1} [f_{hs}(\alpha, w, w_1)] = \frac{1}{\sqrt{\pi}} \left( \Theta(t+w_1-w)\Theta(w-t) \right. \\ & \left. \times \sqrt{t+w_1-w} + \Theta(t-w)\sqrt{w_1} \right). \end{aligned} \quad (33)$$

В области  $w < w_1$  оригинал от  $f_{hs}(\alpha, w, w_1)$  имеет вид

$$\hat{\mathfrak{L}}_{\alpha,t}^{-1} [f_{hs}(\alpha, w, w_1)] = \frac{2}{\sqrt{\pi}} \left( \Theta(w-t)\sqrt{t} + \Theta(t-w)\sqrt{w} \right). \quad (34)$$

Возвращаясь к переменным  $v, v_1, v_2$ , выпишем окончательные выражения для ядра

$$G_{0,0}^{+0}(v, v_1, v_2) = 0, \quad v_1^2 + v_2^2 < v^2, \quad (35)$$

$$\begin{aligned} & G_{0,0}^{+0}(v, v_1, v_2) = \mathfrak{G}_{1/2} \frac{8\pi}{v_1v_2} \sqrt{(v_1^2 + v_2^2 - v^2)/v^2}, \\ & v_1 < v, \quad v^2 - v_1^2 < v_2^2 < v^2, \end{aligned} \quad (36)$$

$$G_{0,0}^{+0}(v, v_1, v_2) = \mathfrak{G}_{1/2} \frac{8\pi}{vv_2}, \quad v_1 < v, \quad v < v_2, \quad (37)$$

$$G_{0,0}^{+0}(v, v_1, v_2) = \mathfrak{G}_{1/2} \frac{8\pi}{vv_1}, \quad v < v_1, \quad v_2 < v, \quad (38)$$

$$G_{0,0}^{+0}(v, v_1, v_2) = \mathfrak{G}_{1/2} \frac{8\pi}{v_1v_2}, \quad v < v_1, \quad v < v_2, \quad (39)$$

#### 4. Нелинейное ядро $G_{1,0}^{+1}(v, v_1, v_2)$ для газа из твердых шаров

Линейное ядро интеграла обратных столкновений для  $l = 1$ , приведенное в [4], после ряда упрощений имеет вид

$$\tilde{L}_1^+(\sqrt{\alpha w}, \sqrt{\alpha w_1}) = \frac{2e^{-\alpha w}}{\alpha^2 w w_1} \times \left( (\alpha m - 1)e^{\alpha m} \operatorname{erf}(\sqrt{\alpha m}) + \frac{2}{\sqrt{\pi}} \sqrt{\alpha m} \right). \quad (40)$$

Здесь использовано обозначение  $m = \min(w, w_1)$ . В данном случае формула (8) дает

$$\begin{aligned} G_{1,0}^{+1}(\sqrt{w}, \sqrt{w_1}, \sqrt{t}) &= \mathfrak{G}_{1/2} \frac{2\pi^{3/2}}{t^{1/2}} \hat{\mathfrak{L}}_{\alpha,t}^{-1} \left[ \frac{\tilde{L}_1^+(\sqrt{\alpha w}, \sqrt{\alpha w_1})}{\sqrt{\alpha}} \right] \\ &= \mathfrak{G}_{1/2} \frac{4\pi^{3/2}}{(w w_1) t^{1/2}} \hat{\mathfrak{L}}_{\alpha,t}^{-1} [f_{hs}^1(\alpha, w, w_1)], \end{aligned} \quad (41)$$

где

$$f_{hs}^1(\alpha, w, w_1) = \begin{cases} \frac{1}{\alpha^{5/2}} e^{-\alpha w} ((\alpha w_1 - 1) \times \\ \times e^{\alpha w_1} \operatorname{erf}(\sqrt{\alpha w_1}) + \frac{2}{\sqrt{\pi}} \sqrt{\alpha w_1}), & w_1 < w, \\ \frac{1}{\alpha^{5/2}} ((\alpha w - 1) \operatorname{erf}(\sqrt{\alpha w}) + \\ + \frac{2}{\sqrt{\pi}} e^{-\alpha w} \sqrt{\alpha w}), & w < w_1. \end{cases} \quad (42)$$

Выпишем оригиналы функций, входящих в (42). Для слагаемых вида  $\operatorname{erf}(b\alpha)/\alpha^{5/2}$  оригиналы найдены выше (см. (32)). Чтобы найти оригиналы слагаемых вида  $\operatorname{erf}(b\alpha)/\alpha^{5/2}$ , проинтегрируем (32) в пределах от нуля до  $t$ :

$$\begin{aligned} \hat{\mathfrak{L}}_{\alpha,t}^{-1} \left[ \frac{\operatorname{erf}(b\alpha)}{\alpha^{5/2}} \right] &= \frac{2}{\sqrt{\pi}} \left( \Theta(b-t) \frac{2}{3} t^{3/2} \right. \\ &\left. + \Theta(t-b) \left( t\sqrt{b} - \frac{1}{3} b^{3/2} \right) \right) \Theta(t). \end{aligned} \quad (43)$$

Кроме этого, нам понадобится

$$\hat{\mathfrak{L}}_{\alpha,t}^{-1}(\alpha^{-2}) = t\Theta(t). \quad (44)$$

Используя (32), (43), (44) и сдвигая слагаемые в оригинале в соответствии с умножением на экспоненты в изображении, получаем при  $w_1 < w$

$$\begin{aligned} \hat{\mathfrak{L}}_{\alpha,t}^{-1} [f_{hs}^1(\alpha, w, w_1)] &= \frac{2}{\sqrt{\pi}} \left[ w_1 \sqrt{w_1 + t - w} \right. \\ &- \frac{2}{3} (w_1 + t - w)^{3/2} \left. \right] \Theta(w_1 + t - w) \Theta(w - t) \\ &+ \frac{2}{\sqrt{\pi}} \frac{1}{3} w_1^{3/2} \Theta(t - w), \end{aligned} \quad (45)$$

а при  $w < w_1$

$$\begin{aligned} \hat{\mathfrak{L}}_{\alpha,t}^{-1} [f_{hs}^1(\alpha, w, w_1)] &= \frac{2}{\sqrt{\pi}} \left( w\sqrt{t} - \frac{2t^{3/2}}{3} \right) \Theta(w - t) \\ &+ \frac{2}{\sqrt{\pi}} \frac{w^{3/2}}{3} \Theta(t - w). \end{aligned} \quad (46)$$

Подставляя (45), (46) в (41) и переходя к переменным  $v, v_1, v_2$ , выпишем окончательные выражения для ядра:

$$G_{1,0}^{+1}(v, v_1, v_2) = 0, \quad v_1^2 + v_2^2 < v^2, \quad (47)$$

$$\begin{aligned} G_{1,0}^{+1}(v, v_1, v_2) &= \mathfrak{G}_{1/2} \frac{8\pi}{v^2 v_1^2 v_2} \\ &\times \left( v_1^2 \sqrt{v_1^2 + v_2^2 - v^2} - \frac{2}{3} (v_1^2 + v_2^2 - v^2)^{3/2} \right), \\ &v_1 < v, \quad v^2 - v_1^2 < v_2^2 < v^2, \end{aligned} \quad (48)$$

$$G_{1,0}^{+1}(v, v_1, v_2) = \mathfrak{G}_{1/2} \frac{8\pi v_1}{3v^2 v_2}, \quad v_1 < v, \quad v < v_2, \quad (49)$$

$$\begin{aligned} G_{1,0}^{+1}(v, v_1, v_2) &= \mathfrak{G}_{1/2} \frac{8\pi}{v^2 v_1^2} \left( v^2 - \frac{2}{3} v_2^2 \right), \\ &v < v_1, \quad v_2 < v, \end{aligned} \quad (50)$$

$$G_{1,0}^{+1}(v, v_1, v_2) = \mathfrak{G}_{1/2} \frac{8\pi v}{3v_1^2 v_2}, \quad v < v_1, \quad v < v_2. \quad (51)$$

#### 5. Обсуждение результатов

Выше были получены ядра  $G_{0,0}^{+0}(v, v_1, v_2)$  для псевдомаксвелловских молекул и твердых шаров и  $G_{1,0}^{+1}(v, v_1, v_2)$  для твердых шаров. Отметим, что ядро  $G_{1,0}^{+1}(v, v_1, v_2)$  для псевдомаксвелловских молекул также удалось найти с помощью приема, который не будет описываться здесь в деталях. Он заключается в том, что сначала находится оригинал подынтегральной функции в представлении линейного ядра через квадратуру (см. [5]). После этого интеграл от оригинала оказывается возможным взять аналитически. Этот же прием может быть использован для построения ядер типа  $G_{l,0}^{+l}(v, v_1, v_2)$  при произвольных значениях  $l$ . Подробно процедура расчета будет рассмотрена в одной из следующих работ, а здесь приведем результат для  $l = 1$  в случае псевдомаксвелловских молекул:

$$G_{1,0}^{+1}(v, v_1, v_2) = 0, \quad v_1^2 + v_2^2 < v^2, \quad (52)$$

$$\begin{aligned} G_{1,0}^{+1}(v, v_1, v_2) &= \mathfrak{G}_0 \frac{2\pi}{v^2 v_1^2 v_2} \left( \frac{v(v_1^2 - v_2^2) \sqrt{v_1^2 + v_2^2 - v^2}}{v_1^2 + v_2^2} \right. \\ &\left. + (2v^2 + v_1^2 - v_2^2) \operatorname{arctg} \sqrt{\frac{v_1^2 + v_2^2 - v^2}{v^2}} \right), \\ &v_1 < v, \quad v^2 - v_1^2 < v_2^2 < v^2, \end{aligned} \quad (53)$$

$$G_{1,0}^{+1}(v, v_1, v_2) = \mathfrak{G}_0 \frac{2\pi}{v^2 v_1^2 v_2} \left( \frac{v_1 v_2 (v_1^2 + v_2^2 - 2v^2)}{v_1^2 + v_2^2} + (2v^2 + v_1^2 - v_2^2) \arctg(v_1/v_2) \right),$$

$$v_1 < v, \quad v < v_2, \quad (54)$$

$$G_{1,0}^{+1}(v, v_1, v_2) = \mathfrak{G}_0 \frac{2\pi}{v^2 v_1^2 v_2} \left( \frac{v_1 v_2 (2v^2 - v_1^2 - v_2^2)}{v_1^2 + v_2^2} + (2v^2 + v_1^2 - v_2^2) \arctg(v_2/v_1) \right),$$

$$v < v_1, \quad v_2 < v, \quad (55)$$

$$G_{1,0}^{+1}(v, v_1, v_2) = \mathfrak{G}_0 \frac{2\pi}{v^2 v_1^2 v_2} \left( \frac{v(v_2^2 - v_1^2) \sqrt{v_1^2 + v_2^2 - v^2}}{v_1^2 + v_2^2} + (2v^2 + v_1^2 - v_2^2) \arctg \sqrt{\frac{v^2}{v_1^2 + v_2^2 - v^2}} \right),$$

$$v < v_1, \quad v < v_2. \quad (56)$$

Проанализируем найденные ядра. Видно, что как для псевдомаксвелловских молекул, так и для твердых шаров они имеют одну и ту же структуру. При фиксированном значении  $v$  область  $v_1 > 0, v_2 > 0$  разбивается на 5 подобластей с границами  $v_1 = v, v_2 = v$  и  $v_1^2 + v_2^2 = v^2$ . В этих областях, а также при переходе из области в область ядра непрерывны; на границах частные производные имеют разрыв. В области  $v_1^2 + v_2^2 < v^2$  ядра равны нулю, что отражает закон сохранения энергии.

Можно убедиться, что ядра  $G_{0,0}^{+0}(v, v_1, v_2)$  симметричны по аргументам  $v_1, v_2$ , т.е. выполняется соотношение  $G_{0,0}^{+0}(v, v_1, v_2) = G_{0,0}^{+0}(v, v_2, v_1)$ , что как отмечалось выше, является следствием изотропности сечения рассеяния для обеих рассмотренных моделей.

При переходе к безразмерным величинам в уравнении Больцмана прежде всего необходимо ввести характерные единицы скорости и времени. В линейном варианте в качестве характерной скорости выбирается средняя тепловая скорость, определяемая по температуре  $T_0$  фонового газа. В нелинейном случае выбор характерной температуры не столь очевиден. Если такая температура выбрана, то в качестве единицы измерения скорости можно выбрать тепловую скорость. Обозначим ее  $v_{T_0}$ . Если обе части уравнения Больцмана поделить на коэффициент, соответствующий средней частоте столкновений  $\nu(T_0) = \mathfrak{G}_\mu v_{T_0}^{2\mu}$ , и учесть размерность функции распределения, то это уравнение запишется в виде

$$\frac{\partial \tilde{f}(\mathbf{c})}{\partial \tau} = \sum_{l_1, l_2} P_l(x) \left( \int_0^\infty \int_0^\infty \tilde{G}_{l_1, l_2}^l(c, c_1, c_2) \tilde{f}_{l_1}(c_1) \tilde{f}_{l_2}(c_2) c_1^2 c_2^2 dc_1 dc_2 \right), \quad (57)$$

где  $c_i = v_i/v_{T_0}, \tilde{f} = f v_{T_0}^3$ , а  $\tau = t\nu(T_0)$ . При этом

$$\tilde{G}_{l_1, l_2}^l(c, c_1, c_2) = \frac{v_{T_0}^3 G_{l_1, l_2}^l(v, v_1, v_2)}{\nu(T_0)}.$$

При таком обезразмеривании ядра  $\tilde{G}_{l_1, l_2}^l(c, c_1, c_2)$  легко получить из формул (23)–(27), (35)–(39), (47)–(51) и (52)–(56), если исключить  $\mathfrak{G}_\mu$  и заменить аргументы  $v, v_1, v_2$  на  $c, c_1, c_2$ .

В работе [2] исследованы общие свойства нелинейных ядер, вытекающие из их инвариантности относительно выбора температуры базиса. Показано, что в случае степенных потенциалов или, точнее, для сечений взаимодействия вида  $\sigma(g, \theta) = g^{2\mu-1} F_\mu(\theta)$  с произвольной угловой зависимостью  $F_\mu(\theta)$  справедливо соотношение подобия

$$\tilde{G}_{l_1, l_2}^l(sc, sc_1, sc_2) = s^{2\mu-3} \tilde{G}_{l_1, l_2}^l(c, c_1, c_2). \quad (58)$$

Здесь  $s$  — произвольное положительное вещественное число. Легко проверить, что найденные выше ядра удовлетворяют соотношениям подобия со значением  $\mu = 0$  для псевдомаксвелловских молекул и  $\mu = 1/2$  для твердых шаров.

Соотношения подобия позволяют представить нелинейное ядро в виде функции двух переменных с коэффициентом, зависящим от расстояния до начала координат в пространстве модулей скоростей  $al = \sqrt{c^2 + c_1^2 + c_2^2}$ :

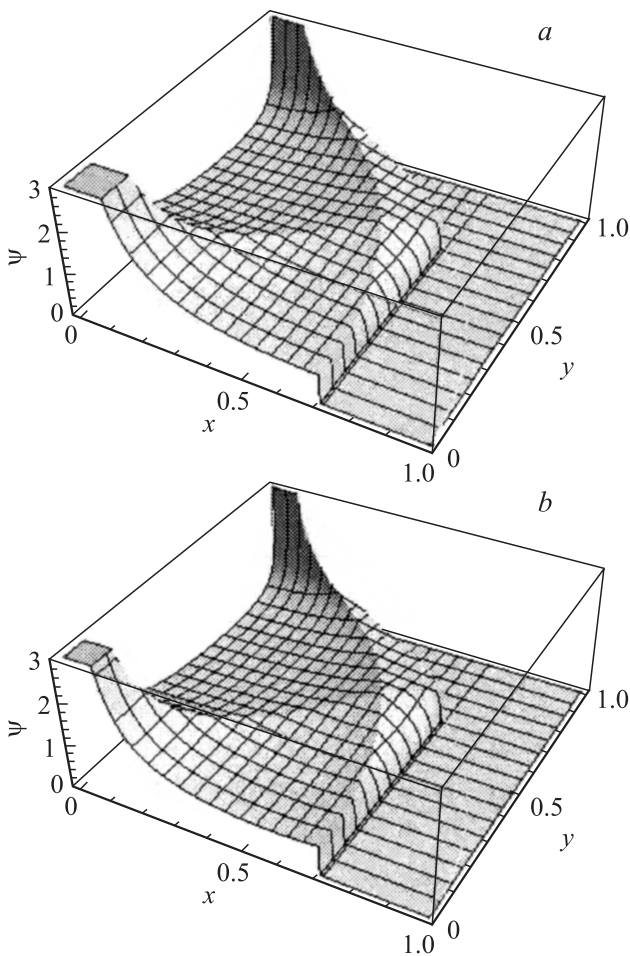
$$\tilde{G}_{l_1, l_2}^l(c, c_1, c_2) = \frac{1}{al^{3-2\mu}} \Psi_{l_1, l_2}^l(x, y). \quad (59)$$

Здесь  $x = c/al, y = c_1/al$ . Третий аргумент нелинейного ядра  $\tilde{G}_{l_1, l_2}^l(c, c_1, c_2)$  связан с новыми переменными выражением  $c_2/al = \sqrt{1 - x^2 - y^2}$ .

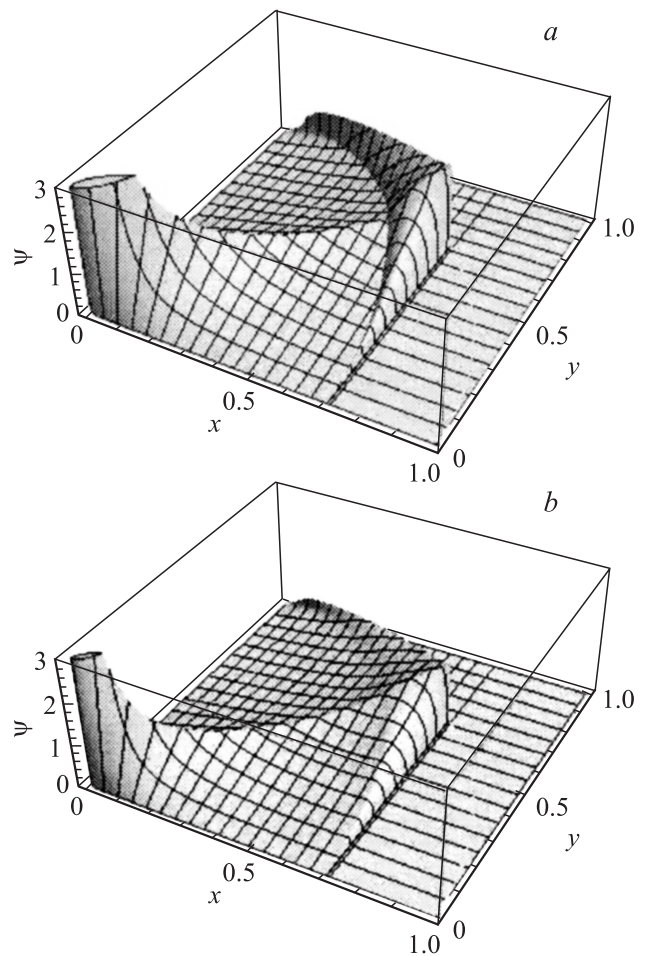
Заметим, что функции  $\Psi_{l_1, l_2}^l(x, y)$  в отличие от  $\tilde{G}_{l_1, l_2}^l(c, c_1, c_2)$  имеют конечную область определения:  $0 \leq x \leq 1, 0 \leq y \leq 1$ .

Тот факт, что функции  $\Psi$  зависят от двух переменных, позволяет представить их графически (см. рис. 1 и 2). На рисунках функции  $\Psi_{0,0}^0(x, y)$  и  $\Psi_{1,0}^1(x, y)$  представлены в нормированном виде — отнесены к их значениям в точке  $x = y = 1/\sqrt{3}$ . Из рисунков видно, что нормированные функции  $\Psi_{0,0}^{+0}(x, y), \Psi_{1,0}^{+1}(x, y)$  для псевдомаксвелловских молекул слабо отличаются от соответствующих функций для твердых шаров. Это связано с изотропностью сечения рассеяния. Мы провели дополнительное исследование и убедились, что при  $\mu = 0$  нормированные функции  $\Psi$  очень сильно меняются при изменении угловой зависимости сечения рассеяния. Можно утверждать, что в случае изотропного сечения рассеяния и для промежуточных значений  $0 < \mu < 1/2$  нормированные функции  $\Psi_{0,0}^{+0}(x, y), \Psi_{1,0}^{+1}(x, y)$  будут слабо изменяться при изменении  $\mu$ .

С использованием полученных выше ядер была проведена проверка выполнения законов сохранения.



**Рис. 1.** Функции  $\Psi_{0,0}^{+0}(x, y)/\Psi_{0,0}^{+0}(1/\sqrt{3}, 1/\sqrt{3})$  для твердых шаров (a) и псевдомаксвелловских молекул (b); a —  $\Psi_{0,0}^{+0}(1/\sqrt{3}, 1/\sqrt{3}) = 75.40$ , b —  $\Psi_{0,0}^{+0}(1/\sqrt{3}, 1/\sqrt{3}) = 102.6$ .



**Рис. 2.** Функции  $\Psi_{1,0}^{+1}(x, y)/\Psi_{1,0}^{+1}(1/\sqrt{3}, 1/\sqrt{3})$  для твердых шаров (a) и псевдомаксвелловских молекул (b); a —  $\Psi_{1,0}^{+1}(1/\sqrt{3}, 1/\sqrt{3}) = 25.13$ , b —  $\Psi_{1,0}^{+1}(1/\sqrt{3}, 1/\sqrt{3}) = 51.28$ .

Законам сохранения числа частиц, импульса и энергии для простого газа соответствуют следующие соотношения:

$$\int_0^\infty (\tilde{G}_{0,0}^{+0}(c, c_1, c_2) - \tilde{G}_{0,0}^{-0}(c, c_1, c_2)) c^2 dc = 0, \quad (60)$$

$$\int_0^\infty (\tilde{G}_{1,0}^{+1}(c, c_1, c_2) + \tilde{G}_{0,1}^{+1}(c, c_2, c_1) - \tilde{G}_{1,0}^{-1}(c, c_1, c_2) - \tilde{G}_{0,1}^{-1}(c, c_2, c_1)) c^3 dc = 0, \quad (61)$$

$$\int_0^\infty (\tilde{G}_{0,0}^{+0}(c, c_1, c_2) + \tilde{G}_{0,0}^{+0}(c, c_2, c_1) - \tilde{G}_{0,0}^{-0}(c, c_1, c_2) - \tilde{G}_{0,0}^{-0}(c, c_2, c_1)) c^4 dc = 0. \quad (62)$$

Эти интегралы должны обращаться в нуль при любых фиксированных значениях  $c_1, c_2$ . В уравнения (60)–(62)

входят как ядра интеграла обратных столкновений, найденные в настоящей работе, так и ядра интеграла прямых столкновений, которые были рассмотрены в [2] и [12]. Как отмечалось выше, для изотропного сечения рассеяния нелинейные ядра симметричны относительно одновременной перестановки  $c_1, c_2$  и  $l_1, l_2$ . Поэтому входящие в формулы (61), (62) суммы равны

$$\tilde{G}_{1,0}^{+1}(c, c_1, c_2) + \tilde{G}_{0,1}^{+1}(c, c_2, c_1) = 2\tilde{G}_{1,0}^{+1}(c, c_1, c_2),$$

$$\tilde{G}_{0,0}^{+0}(c, c_1, c_2) + \tilde{G}_{0,0}^{+0}(c, c_2, c_1) = 2\tilde{G}_{0,0}^{+0}(c, c_1, c_2),$$

Численная проверка показала, что тождества (60)–(62) выполняются с очень высокой точностью.

### Список литературы

- [1] Эндер А.Я., Эндер И.А. Интеграл столкновений уравнения Больцмана и моментный метод. СПб., 2003. 224 с.
- [2] Эндер А.Я., Эндер И.А., Бакалейников Л.А. // ЖТФ. 2010. Т. 80. Вып. 10. С. 12–21.
- [3] Hilbert D. // Math. Ann. 1912. Bd. 72. S. 562–577.

- [4] *Hecke E.* // *Math. Zs.* 1922. Bd. 12. S. 274–286.
- [5] *Эндер А.Я., Эндер И.А.* Письма в ЖТФ. 2011. Т. 37. Вып. 5. С. 9–14.
- [6] *Loyalka S.K.* *Phys. Fluids. A.* 1989. Vol. 1. N. 2. P. 384–388.
- [7] *Garcia R.D.M., Siewert C.E.* // *Eur. J. Mech. B. Fluids.* 2007. Vol. 26. P. 749–778.
- [8] *Эндер А.Я., Эндер И.А., Бакалейников Л.А.* // *ДАН.* 2011. Т. 437. Вып. 5. С. 621–623.
- [9] *Бейтмен Г., Эрдейи А.* Таблицы интегральных преобразований. Т. 1. М.: Наука, 1969. 344 с.
- [10] *Градштейн И.С., Рыжик И.М.* Таблицы интегралов, сумм, рядов и произведений. М.: ФМ, 1962. 1097 с.
- [11] *Бакалейников Л.А., Флегонтова Е.Ю., Эндер А.Я., Эндер И.А.* // *ЖТФ.* 2009. Т. 79. Вып. 2. С. 22–35.
- [12] *Эндер А.Я., Эндер И.А., Бакалейников Л.А., Флегонтова Е.Ю.* // *ЖТФ.* 2011. Т. 81. Вып. 4. С. 24–34.